

НЕРЕЛЯТИВИСТСКАЯ КВАНТОВАЯ ЭЛЕКТРОДИНАМИКА. ВЕДУЩИЕ РАДИАЦИОННЫЕ ПОПРАВКИ

В. И. Коробов

Объединенный институт ядерных исследований, Дубна

Формулируется эффективная теория поля для описания низкоэнергетических процессов в квантовой электродинамике — нерелятивистская квантовая электродинамика (NRQED). Показывается, как формализм NRQED позволяет построить строгую теорию возмущения для вычисления поправок высших порядков по параметрам $v/c \sim Z\alpha$, $\beta = m/M$, где v — скорость электронов (мюонов) в атомах, m/M — отношение масс легких частиц к массам тяжелых в молекулярной системе. В качестве примера применения метода рассматривается ведущая радиационная поправка в порядке $m\alpha(Z\alpha)^4$. Показано, как параметр обрезания (регуляризации), вводимый в NRQED, сокращается в конечном выражении для энергии, не приводя к бессмысленным бесконечным результатам.

To describe low-energy processes in quantum electrodynamics an effective field theory, nonrelativistic quantum electrodynamics (NRQED), is formulated. It is shown how the NRQED formalism allows one to construct a rigorous perturbation theory for calculating higher-order corrections in the parameters $v/c \sim Z\alpha$, $\beta = m/M$, where v is the velocity of electrons (muons) in atoms, m/M is the ratio of masses (light-to-heavy) of particles in an atomic or molecular system. As an example of the application of the method, the leading radiative corrections of order $m\alpha(Z\alpha)^4$ are considered. It is shown that the cutoff (regularization) parameter introduced in NRQED is eventually cancelled from the final expression for energy without producing meaningless infinite results.

PACS: 12.20.–m; 12.15.Lk; 12.38.Bx

Хорошо известно, что релятивистски-инвариантный формализм квантовой электродинамики плохо приспособлен к решению задач на связанные состояния для систем нескольких частиц [1–3]. Вместе с тем нерелятивистская квантовая механика с хорошей точностью описывает решения для связанных состояний таких систем. Поэтому представляется весьма привлекательным использование такой схемы вычислений, которая бы исходила из нерелятивистской квантовой механики и позволяла бы последовательно строить теорию, предсказания которой в низших порядках по константе связи $\alpha = (1/4\pi\epsilon_0)(e^2/\hbar c)$ совпадали бы с предсказаниями квантовой электродинамики. Такая схема была предложена Кажуэллом и Лепажем [4] и представляет из себя эффективную теорию поля, на-

зываемую *нерелятивистская квантовая электродинамика* (NRQED). Подробное и ясное изложение основ метода можно найти в [5].

Решение строится в два этапа. Сначала определяется эффективный лагранжиан NRQED с константами связи (которых необходимо больше, чем в КЭД) для различных локальных взаимодействий нерелятивистской теории. Эти константы получаются из сравнения амплитуд рассеяния КЭД и NRQED так, чтобы предсказания теорий совпадали до определенного порядка по параметру α . Следующим шагом является вычисление характеристик связанных состояний на основе построенного эффективного лагранжиана, который уже включает только взаимодействия для нерелятивистских значений момента импульса. На этом этапе все «новые» локальные взаимодействия включаются в вычисления как малые возмущения на основе теории возмущений Рэлея–Шредингера.

В изложении мы используем систему единиц Лоренца–Хевисайда: $\hbar = c = \varepsilon_0 = 1$ и $\alpha = e^2/4\pi$.

1. НЕРЕЛЯТИВИСТСКАЯ КВАНТОВАЯ ЭЛЕКТРОДИНАМИКА

Лагранжиан NRQED строится из нерелятивистских полей ψ для частиц, входящих в систему: скалярных — для скалярных частиц, спиноров Паули — для частиц со спином $1/2$ и т. д. Фотон с необходимостью является релятивистским и определяется таким же образом, как и в КЭД. Лагранжиан инвариантен относительно преобразований Галилея, а также должен сохранять те же симметрии, что и лагранжиан КЭД (калибровочную инвариантность, сохранение четности, обращение времени и эрмитовость):

$$\begin{aligned}
 L_{\text{eff}} = & -\frac{1}{2}(E^2 - B^2) + \psi_e^* \left(i\partial_t - e\varphi + \frac{\mathbf{D}^2}{2m_e} + \frac{\mathbf{D}^4}{8m_e^3} + \dots \right) \psi_e + \\
 & + \psi_e^* \left(c_F \frac{e}{2m_e} \boldsymbol{\sigma} \mathbf{B} + c_D \frac{e}{8m_e^2} \mathbf{D} \mathbf{E} + c_S \frac{ie}{8m_e^2} \mathbf{D} \cdot \mathbf{E} \times \boldsymbol{\sigma} \right) \psi_e + \\
 & + \text{члены высших порядков} + \text{мюон, протон и т. д.} + \\
 & + \frac{d_1}{m_e m_\ell} (\psi_e^* \boldsymbol{\sigma}_e \psi_e) (\psi_\ell^* \boldsymbol{\sigma}_\ell \psi_\ell) + \frac{d_2}{m_e m_\ell} (\psi_e^* \psi_e) (\psi_\ell^* \psi_\ell) + \dots, \quad (1)
 \end{aligned}$$

где $\mathbf{D} = \nabla - ie\mathbf{A}$ — ковариантная производная, в дальнейшем будем полагать заряд $e = -|e|$ равным заряду электрона. Индекс ℓ используется для второй частицы: электрона, позитрона, мюона и др.

Коэффициенты $c_i(\alpha, m_e, \Lambda)$, которые появляются в лагранжиане (1), являются функциями *экспериментальных* констант связи α , массы электрона m_e , определенных на массовой поверхности и в пределе нулевого переданного импульса, и параметра обрезания Λ . Эти коэффициенты, коэффициенты Вильсона, для взаимодействия электрона с внешним

полем определяются как

$$\begin{aligned} c_F &= 1 + a_e, \\ c_S &= 1 + 2a_e, \\ c_D &= 1 + 2a_e + \frac{\alpha}{\pi} \frac{8}{3} \left[\ln \left(\frac{m_e}{2\Lambda} \right) + \frac{5}{6} - \frac{3}{8} \right], \end{aligned} \quad (2a)$$

а коэффициенты Вильсона для контактных взаимодействий —

$$\begin{aligned} d_1 &= (Z\alpha)^2 \frac{2}{m_e^2 - m_\ell^2} \ln \left(\frac{m_e}{m_\ell} \right), \\ d_2 &= (Z\alpha)^2 \left\{ \frac{7}{3} - 2 \ln \left(\frac{m_e}{2\Lambda} \right) + \frac{2}{m_e^2 - m_\ell^2} \left[m_e^2 \ln \left(\frac{m_\ell}{\mu} \right) - m_\ell^2 \ln \left(\frac{m_e}{\mu} \right) \right] \right\}. \end{aligned} \quad (2b)$$

Здесь μ — приведенная масса пары частиц. Параметр Λ — параметр теории, удовлетворяющий требованию $m(Z\alpha) \approx \Lambda \ll m$, и интегрирование в NRQED производится по фотонам с моментом импульса $|\mathbf{k}| < \Lambda$. Важно отметить, что по построению NRQED полностью эквивалентна квантовой электродинамике в том смысле, что энергия связанного состояния имеет одинаковое разложение в ряд по α и $Z\alpha$ в обеих теориях.

Все эффекты, возникающие от вкладов фотонов с релятивистским моментом импульса, тем или иным образом преобразуются в локальные взаимодействия, которые затем включаются в лагранжиан (1). Поскольку (1) сохраняет калибровочную инвариантность, все вычисления в релятивистской области могут производиться в произвольной калибровке, например в фейнмановской: $G^{\mu\nu} = -g^{\mu\nu}/k^2$. При этом коэффициенты эффективного лагранжиана (1) не должны зависеть от выбора калибровки.

Здесь необходимо отметить одно важное свойство лагранжиана (1). Благодаря калибровочной инвариантности и приближенной (с точностью до определенной степени v/c) лоренц-инвариантности лагранжиана, с учетом того, что все взаимодействия описываются вершинными функциями, а нулевое приближение определяется нерелятивистским уравнением Шредингера, мы видим, что задача на связанные состояния в данном формализме естественным образом формулируется для физической системы с произвольным числом частиц.

Следуя работе [6], используем операторы $iD_t, i\mathbf{D}, \mathbf{E}, \boldsymbol{\sigma}$ как строительные блоки лагранжиана (см. таблицу). А сам лагранжиан раскладывается в ряд по массе фермиона M_f (электрона, протона и т. д.):

$$\mathcal{L}_f = \sum_{n=0} \psi_f^* \frac{O_n}{M_f^n} \psi_f.$$

Используя симметрии, накладываемые на лагранжиан, можно показать, что форма \mathcal{L}_f *единственна*. Единственный произвол связан с неоднозначностью выбора базиса однородных многочленов, как, например,

Симметрии пространственной четности и обращения времени. Массовая размерность операторов

	iD_t	$i\mathbf{D}$	\mathbf{E}	\mathbf{B}	σ
P	+	-	-	+	+
T	+	-	+	-	-
	M^1	M^1	M^2	M^2	M^0

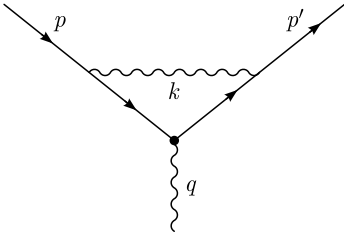


Рис. 1. Рассеяние электрона на внешнем поле

в случае рассеяния электрона на внешнем поле (рис. 1):

$\mathbf{p}^2 + \mathbf{p}'^2$, $\mathbf{p}\mathbf{p}'$ или $(\mathbf{p} + \mathbf{p}')^2$, $(\mathbf{p} - \mathbf{p}')^2$, где \mathbf{p} и \mathbf{p}' — импульсы электрона до и после рассеяния.

Естественным выбором калибровки в нерелятивистской области значений импульсов фотонов является кулоновская калибровка ($\mathbf{k}\mathbf{A} = 0$), в которой пропагатор фотона имеет вид

$$\begin{cases} G^{00} = \frac{1}{\mathbf{k}^2} - \text{пропагатор кулоновского фотона,} \\ G^{ij} = \frac{\delta_{ij} - k_i k_j / \mathbf{k}^2}{k^2 + i\varepsilon} - \text{пропагатор поперечного фотона,} \\ G^{0i} = G^{i0} = 0, \quad i, j = 1, 2, 3. \end{cases} \quad (3)$$

Здесь и в дальнейшем в этом разделе жирным шрифтом обозначаются трехмерные векторы, которые индексируются латинскими буквами. Четырехмерные векторы $k = (k^0, \dots, k^3)$ имеют греческие индексы и $k^2 = k_0^2 - \mathbf{k}^2$. Пропагаторы частиц имеют вид

$$\frac{1}{E - \mathbf{p}^2/(2m) + i\varepsilon}. \quad (4)$$

Примеры основных взаимодействий иллюстрируются диаграммами Фейнмана для NRQED, здесь $\mathbf{q} = \mathbf{p}' - \mathbf{p}$ — передаваемый импульс частицы (рис. 2).

Выделим лагранжиан нулевого порядка:

$$L_{\text{eff}}^{(0)} = -\frac{1}{2}(E^2 - B^2) + \sum_n \psi_n^* \left(i\partial_t - eZ_n\varphi + \frac{\mathbf{D}^2}{2m_n} \right) \psi_n. \quad (5)$$

Из него вариацией функций полей ψ_n , соответствующих различным частицам, входящим в систему, и квантованием электромагнитного поля получаем нерелятивистский гамильтониан системы частиц, взаимодей-

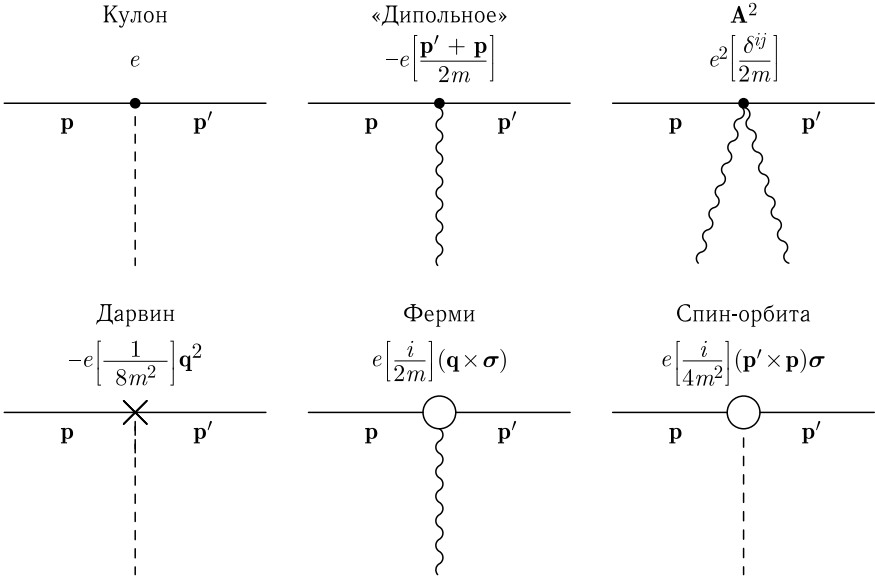


Рис. 2. Основные взаимодействия в NRQED

ствующих по закону Кулона, учитывающий также взаимодействие с электромагнитным полем:

$$\check{H}_0 = \sum_i \frac{\mathbf{P}_i^2}{2m_i} + e^2 \sum_{j>i} \frac{Z_i Z_j}{r_{ij}} + \sum_{\lambda=1,2} \int d^3k k a_{k\lambda}^+ a_{k\lambda}. \quad (6)$$

Здесь $\mathbf{P}_i = \mathbf{p}_i + e\mathbf{A}$ — обобщенный импульс частицы, и операторы $\mathbf{A}(\mathbf{r})$ представляются в виде операторов рождения и уничтожения фотонов электромагнитного поля:

$$\mathbf{A}(\mathbf{r}) = (2\pi)^{-3/2} \int \frac{d^3k}{\sqrt{2k}} (a_{k\lambda}^+ e^{-i\mathbf{k}\mathbf{r}} + a_{k\lambda} e^{i\mathbf{k}\mathbf{r}}) \mathbf{e}_\lambda,$$

где \mathbf{e}_λ — два ортогональных вектора поляризации ($\lambda = 1, 2$). Гамильтониан (6) является удобной отправной точкой для построения эффективной нерелятивистской квантовой электродинамики системы нескольких частиц в гамильтоновой форме [7, 8].

2. НЕСТАЦИОНАРНАЯ ТЕОРИЯ ВОЗМУЩЕНИЯ

Прежде чем переходить к конкретным расчетам, необходимо сказать несколько слов о теории возмущений, применяемой в вычислениях в NRQED. В задачах рассеяния применяется временная теория возмущений, как она формулируется Фейнманом в [9], а именно, функция Грина

разлагается в ряд по возрастающим степеням возмущающего потенциала взаимодействия

$$K(2, 1) = K_0(2, 1) + K^{(1)}(2, 1) + K^{(2)}(2, 1) + \dots, \quad (7)$$

где $K_0(2, 1)$ — функция распространения (функция Грина) невозмущенного гамильтониана:

$$K_0(2, 1) = e^{-iH_0(t_2-t_1)}, \quad \left[\frac{i\partial}{\partial t_2 - H_0(2)} \right] K_0(2, 1) = i\delta(2, 1). \quad (8)$$

При этом поправка первого порядка, описывающая испускание фотона одной из частиц системы и последующее его поглощение другой (или той же самой) частицей системы, записывается как

$$K^{(1)}(2, 1) = -i \int K_0(2, 4) V(4) G(4, 3) K_0(4, 3) V(3) K_0(3, 1) d\tau_3 d\tau_4, \quad (9)$$

$$d\tau = dt dX = dt \prod_i dx_i,$$

где $G(4, 3)$ — пропагатор фотона (3), а $V(4)$ и $V(3)$ — некоторые функции вершин из лагранжиана NRQED, уравнение (1) (см. также рис. 1). В случае обмена кулоновским фотоном между частицами a и b имеем мгновенное взаимодействие

$$G_{00}(x) = \frac{\delta(x_0)}{(2\pi)^3} \int d^3\mathbf{k} e^{-i\mathbf{k}x} \left[\frac{4\pi}{\mathbf{k}^2} \right] = \frac{\delta(x_0)}{\mathbf{x}},$$

и поправка первого порядка выражается следующим образом:

$$K^{(1)}(2, 1) = \frac{-i}{(2\pi)^3} \int dX_3 K_0(2, 3) \times$$

$$\times \left\{ \int d^3\mathbf{k} V_a(3) \left[\frac{4\pi e^{-i\mathbf{k}(\mathbf{x}_b - \mathbf{x}_a)}}{\mathbf{k}^2} \right] V_b(3) \right\} K_0(3, 1) =$$

$$= -i \int dX_3 K_0(2, 3) \frac{V_a(3)V_b(3)}{\left| \mathbf{x}_a^{(3)} - \mathbf{x}_b^{(3)} \right|} K_0(3, 1). \quad (10)$$

Для поперечного фотона функция Грина имеет вид ($k^2 = k_0^2 - \mathbf{k}^2$)

$$G_{ij}(x) = \frac{1}{(2\pi)^4} \int d^4k e^{-ikx} \left[\frac{4\pi}{k^2 + i\varepsilon} \left(\delta_{ij} - \frac{k_i k_j}{\mathbf{k}^2} \right) \right],$$

$$G_{ij}(x_2 - x_1) = \frac{1}{(2\pi)^4} \int d^4k e^{-ikx_2} \left[\frac{4\pi}{k^2 + i\varepsilon} \left(\delta_{ij} - \frac{k_i k_j}{\mathbf{k}^2} \right) \right] e^{ikx_1},$$

и окончательно получаем для поправки первого порядка для *собственной энергии электрона* или обмена поперечным фотоном

$$K^{(1)}(2, 1) = -i \int d\tau_3 d\tau_4 \frac{1}{(2\pi)^4} \int d^4k K_0(2, 4) V(4) \times \\ \times \left\{ e^{-ikx_b} \left[\frac{4\pi}{k^2 + i\varepsilon} \left(\delta_{ij} - \frac{k_i k_j}{\mathbf{k}^2} \right) \right] e^{ikx_a} K_0(4, 3) \right\} V(3) K_0(3, 1). \quad (11)$$

3. СТАЦИОНАРНАЯ ТЕОРИЯ ВОЗМУЩЕНИЯ

Поправка к энергии стационарного состояния может быть получена из формулы (11) подстановкой стационарного решения уравнения Шредингера $\psi_0(\mathbf{r}_i, t)$:

$$\Delta E = \int \prod_i^N d\mathbf{r}'_i \prod_j^N d\mathbf{r}_j d(t' - t) \frac{1}{(2\pi)^4} \int d^4k \psi_0^*(\mathbf{r}_j, t) V(2) \times \\ \times \left\{ e^{-i(k_0 t - \mathbf{k}\mathbf{r}_j)} \left[\frac{4\pi}{k^2 + i\varepsilon} \left(\delta_{ij} - \frac{k_i k_j}{\mathbf{k}^2} \right) \right] e^{i(k_0 t' - \mathbf{k}\mathbf{r}_i)} K_0(2, 1) \right\} V(1) \psi_0(\mathbf{r}_i, t').$$

Интегрируя по t , получаем

$$\Delta E = \frac{1}{(2\pi)^4} \int \frac{d^4k}{i} 4\pi \left(\delta_{ij} - \frac{k_i k_j}{\mathbf{k}^2} \right) \times \\ \times \left\langle \psi_0 \left| V(2) e^{i\mathbf{k}\mathbf{r}_a} \frac{1}{E_0 - k_0 - H_0} e^{-i\mathbf{k}\mathbf{r}_b} V(1) \right| \psi_0 \right\rangle - \delta_{ab} \delta m \langle \psi_0 | \psi_0 \rangle$$

и, выполняя интегрирование по k_0 ($k = |\mathbf{k}|$),

$$\Delta E = \frac{1}{(2\pi)^3} \int \frac{d^3\mathbf{k}}{2|\mathbf{k}|} 4\pi \left(\delta_{ij} - \frac{k_i k_j}{\mathbf{k}^2} \right) \times \\ \times \left\langle \psi_0 \left| V(2) e^{i\mathbf{k}\mathbf{r}_a} \frac{1}{E_0 - k - H_0} e^{-i\mathbf{k}\mathbf{r}_b} V(1) \right| \psi_0 \right\rangle - \delta_{ab} \delta m \langle \psi_0 | \psi_0 \rangle.$$

Здесь δm — контрчлен, связанный с перенормировкой массы.

Используя разложение по k

$$\frac{1}{E_0 - k - H_0} = -\frac{1}{k} + \frac{H_0 - E_0}{k^2} - \frac{(H_0 - E_0)^2}{k^3} + \dots,$$

получаем разложение полного вклада в энергию, обусловленного обменом фотоном, в ряд по $Z\alpha$ с коэффициентами, представленными некоторыми локальными операторами (взаимодействиями).

4. СОБСТВЕННАЯ ЭНЕРГИЯ ЭЛЕКТРОНА ВО ВНЕШНЕМ ПОЛЕ

В качестве примера использования NRQED вычислим собственную энергию связанного электрона во внешнем кулоновском поле. Соответствующая задача рассеяния, из которой строится приближение NRQED, изображается диаграммой Фейнмана (см. рис. 1).

Интеграл, определяющий поправку к вершинной функции $\Gamma_{(0)}^\mu = \gamma^\mu$, имеет вид

$$\Gamma_{(1)}^\mu = ie^2 \int \frac{d^4 k}{(2\pi)^4} \gamma^\rho \frac{1}{\hat{p} - \hat{k} - m_e} \gamma^\mu \frac{1}{\hat{p}' - \hat{k} - m_e} \gamma^\nu \frac{g_{\rho\nu}}{k^2}, \quad (12)$$

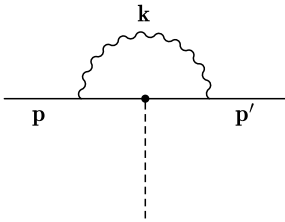


Рис. 3. Диаграмма собственной энергии в NRQED

который содержит не только ультрафиолетовую расходимость, но и расходимость в инфракрасной области, так как электрон находится на массовой поверхности. Для его регуляризации введем фиктивную малую массу в пропагатор фотона

$$\frac{1}{k^2} \rightarrow \frac{1}{k^2 - \lambda_{\min}^2}.$$

Используя эту регуляризацию, Фейнман [9] получил следующую формулу для рассеяния без излучения в пределе малых q :

$$\Gamma_{(1)}^\mu = \gamma^\mu \frac{\alpha}{3\pi} \frac{q^2}{m_e^2} \left(\ln \frac{m_e}{\lambda_{\min}} - \frac{3}{8} \right) + \frac{i}{2m_e} \frac{\alpha}{2\pi} \sigma^{\mu\nu} q_\nu. \quad (13)$$

Диаграмма NRQED, определяющая ведущую поправку собственной энергии, показана на рис. 3. Здесь штриховой линией обозначен внешний потенциал, а волнистой — поперечный фотон. Соответствующий интеграл, составленный по правилам NRQED и определяющий поправку к вершинной функции $\Gamma_{(0)} = 1$, записывается следующим образом:

$$\begin{aligned} \Gamma_{(1)} = ie^2 \int \frac{d^4 k}{(2\pi)^4} \frac{\mathbf{p} + (\mathbf{p} + \mathbf{k})}{2m_e} \frac{1}{E + k^0 - (\mathbf{p} - \mathbf{k})^2/2m_e} \times \\ \times \frac{1}{E + k^0 - (\mathbf{p}' - \mathbf{k})^2/2m_e} \frac{\mathbf{p}' + (\mathbf{p}' + \mathbf{k})}{2m_e} \frac{1}{k^2 - \lambda_{\min}^2} \times \\ \times \left(\delta^{ij} - \frac{k^i k^j}{\mathbf{k}^2 + \lambda_{\min}^2} \right). \quad (14a) \end{aligned}$$

Интеграл (14a) расходится в инфракрасной области, поэтому для устранения расходимости используется регуляризация с введением малой фиктивной массы фотона, такой же, что была использована в КЭД. Проинтегрируем (14a) сначала по k^0 , замыкая контур интегрирования

в верхней полуплоскости. В этом случае внутри контура находится только один полюс, отвечающий энергии фотона с отрицательной энергией $k^0 = -\sqrt{\mathbf{k}^2 + \lambda_{\min}^2}$. После интегрирования по k^0 получаем

$$\begin{aligned} \Gamma_{(1)} &= \left(\frac{e}{m_e}\right)^2 \int \frac{d^3k}{(2\pi)^3} \frac{1}{2\sqrt{\mathbf{k}^2 + \lambda_{\min}^2}} \frac{\mathbf{p} + \mathbf{k}/2}{E - \sqrt{\mathbf{k}^2 + \lambda_{\min}^2} - (\mathbf{p} - \mathbf{k})^2/2m_e} \times \\ &\quad \times \frac{\mathbf{p}' + \mathbf{k}/2}{E - \sqrt{\mathbf{k}^2 + \lambda_{\min}^2} - (\mathbf{p}' - \mathbf{k})^2/2m_e} \left[\delta^{ij} - \frac{k^i k^j}{\mathbf{k}^2 + \lambda_{\min}^2} \right] = \\ &= \left(\frac{e}{m_e}\right)^2 \int \frac{d^3k}{(2\pi)^3} \frac{1}{2\sqrt{\mathbf{k}^2 + \lambda_{\min}^2}} \frac{\mathbf{p} + \mathbf{k}/2}{\sqrt{\mathbf{k}^2 + \lambda_{\min}^2} - \mathbf{k}(\mathbf{p} - \mathbf{k}/2)/m_e} \times \\ &\quad \times \frac{\mathbf{p}' + \mathbf{k}/2}{\sqrt{\mathbf{k}^2 + \lambda_{\min}^2} - \mathbf{k}(\mathbf{p}' - \mathbf{k}/2)/m_e} \left[\delta^{ij} - \frac{k^i k^j}{\mathbf{k}^2 + \lambda_{\min}^2} \right]. \quad (146) \end{aligned}$$

В последнем равенстве мы учли, что частицы на внешних линиях находятся на массовой поверхности. Интеграл (146) расходится логарифмически при больших $|\mathbf{k}|$. Слагаемые $\mathbf{k}/2$ в числителе могут быть отброшены, так как

$$p_i k_j \left[\delta^{ij} - \frac{k^i k^j}{\mathbf{k}^2 + \lambda_{\min}^2} \right] = (\mathbf{p}\mathbf{k}) \frac{\lambda_{\min}^2}{\mathbf{k}^2 + \lambda_{\min}^2}$$

и соответствующие вклады в (146) исчезают при $\lambda_{\min} \rightarrow 0$. Замечая, что при $|\mathbf{k}| < \Lambda$ выполняется неравенство

$$\sqrt{\mathbf{k}^2 + \lambda_{\min}^2} \gg \mathbf{k}(\mathbf{p} - \mathbf{k}/2)/m,$$

и ограничиваясь ведущим вкладом порядка α , получаем

$$\begin{aligned} \Gamma_{(1)} &= \frac{2(\mathbf{p}\mathbf{p}')}{3\pi} \frac{\alpha}{m_e^2} \int_0^\Lambda k^2 dk (k^2 + \lambda_{\min}^2)^{-3/2} \left(1 + \frac{1}{2} \frac{\lambda_{\min}^2}{k^2 + \lambda_{\min}^2} \right) = \\ &= \frac{q^2}{3\pi} \frac{\alpha}{m_e^2} \left[\ln \left(\frac{2\Lambda}{\lambda_{\min}} \right) - \frac{5}{6} \right] + \mathbf{r}_{\text{ren}} + O(\lambda_{\min}^2; \alpha^2). \quad (15) \end{aligned}$$

Здесь \mathbf{r}_{ren} — вклад, связанный с ренормализацией массы, и можно показать тем же образом, как это было проделано Фейнманом [9, 10] в релятивистской квантовой электродинамике, что он сокращается с вкладами от диаграмм, изображенных на рис. 4.

Сравнивая вклад от диаграмм в амплитуду рассеяния на кулоновском центре, вычисленную в КЭД, с соответствующим вкладом диаграмм

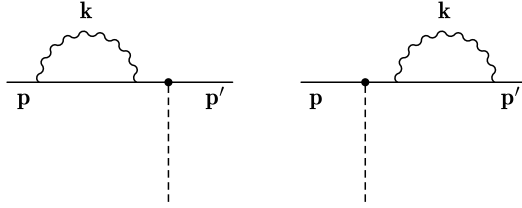


Рис. 4. Диаграммы собственной энергии в NRQED, внешние относительно вершины взаимодействия

NRQED, находим, что коэффициенты c_D и c_S в (1) должны быть выбраны следующими:

$$\begin{cases} c_D = 1 + 2 \left(\frac{\alpha}{2\pi} \right) + \frac{\alpha}{\pi} \frac{8}{3} \left[\ln \left(\frac{m_e}{2\Lambda} \right) - \frac{3}{8} + \frac{5}{6} \right], \\ c_S = 1 + 2 \left(\frac{\alpha}{2\pi} \right), \end{cases} \quad (16)$$

при условии, что интегрирование по поперечным фотонам производится до моментов импульса $|\mathbf{k}| < \Lambda$.

4.1. Вклад низких энергий. В NRQED вклад фотонов низких энергий в собственную энергию электрона в порядке $m\alpha^5$ записывается выражением

$$E_L = \frac{2\alpha}{3\pi m_e^2} \int_0^\Lambda k dk \left\langle \mathbf{p} \left(\frac{1}{E_0 - H - k} \right) \mathbf{p} \right\rangle - \delta m \langle \psi_0 | \psi_0 \rangle. \quad (17a)$$

Подынтегральное выражение может быть преобразовано с использованием тождества

$$(E_0 - H - k)^{-1} = -\frac{1}{k} - \frac{1}{k^2}(E_0 - H) + \frac{1}{k^2} \frac{(E_0 - H)^2}{E_0 - H - k},$$

что приводит к

$$E_L = \frac{2\alpha}{3\pi m_e^2} \left[-\langle \mathbf{p}^2 \rangle \Lambda + \langle \mathbf{p} [H, \mathbf{p}] \rangle \ln \Lambda + \int \frac{dk}{k} \left\langle \mathbf{p} \frac{(E_0 - H)^2}{E_0 - H - k} \mathbf{p} \right\rangle \right] - \delta m \langle \psi_0 | \psi_0 \rangle. \quad (17b)$$

Первый член под интегралом связан с перенормировкой массы. Легко показать, что для свободного электрона поправка собственной энергии равна

$$\Delta E_{se}^{\text{free}} = -\frac{2\alpha}{3\pi m_e^2} \int_0^\Lambda dk k \frac{\langle \mathbf{p}^2 \rangle}{k},$$

поэтому первый член в (17b) сокращается с δm .

Таким образом, оставшаяся часть интеграла может быть представлена в виде сходящегося интеграла

$$E_L^{(0)} = \frac{2\alpha}{3\pi m_e^2} \int_0^{E_h} k dk \left\langle \mathbf{p} \left(\frac{1}{E_0 - H - k} + \frac{1}{k} \right) \mathbf{p} \right\rangle + \\ + \frac{2\alpha}{3\pi m_e^2} \int_{E_h}^{\infty} \frac{dk}{k} \left\langle \mathbf{p} \frac{(E_0 - H)^2}{E_0 - H - k} \mathbf{p} \right\rangle$$

и логарифмически расходящегося члена

$$E_L^{(1)} = \frac{2\alpha}{3\pi m_e^2} \left(\int_{E_h}^{\Lambda} \frac{dk}{k} \right) \langle \mathbf{p} [H, \mathbf{p}] \rangle = \frac{\alpha}{3\pi m_e^2} \ln \frac{\Lambda}{E_h} (4\pi Z\alpha \langle \delta(\mathbf{r}) \rangle).$$

Как будет показано ниже, параметр обрезания Λ сокращается с логарифмическим вкладом от высокоэнергетической части. Здесь E_h — энергия Хартри, а $E_h = m_e \alpha^2$.

4.2. Вклад высоких энергий. Здесь мы берем вклад порядка $m\alpha^5$ из дарвиновского члена лагранжиана NRQED:

$$E_H = -\frac{c_D^{(5)}}{8m_e^2} 4\pi Z\alpha \langle \delta(\mathbf{r}) \rangle, \quad c_D^{(5)} = 2 \frac{\alpha}{2\pi} + \frac{\alpha}{\pi} \frac{8}{3} \left[\ln \left(\frac{m_e}{2\Lambda} \right) + \frac{5}{6} - \frac{3}{8} \right].$$

Тогда для вклада собственной энергии S состояний получаем

$$E_H = \frac{\alpha}{3\pi m_e^2} \left[\ln \alpha^{-2} + \ln \frac{E_h}{\Lambda} - \ln 2 + \frac{5}{6} \right] 4\pi Z\alpha \langle \delta(\mathbf{r}) \rangle.$$

Суммируя вклады E_L и E_H , мы видим, что параметр обрезания Λ сокращается, и получаем конечное выражение для вклада собственной энергии.

4.3. Поправка собственной энергии для связанного состояния. Заменяя $E_h \rightarrow 2R_\infty$ и учитывая вклад от взаимодействия спина движущегося электрона с электрическим полем (в атомной физике — спин-орбитальное взаимодействие [5])

$$E_{SO} = -\frac{c_S^{(5)} e}{8m_e^2} \langle \mathbf{p} \cdot \mathbf{E} \times \boldsymbol{\sigma} \rangle, \quad c_S = 1 + 2a_e,$$

из лагранжиана NRQED (1), приходим к известному выражению [11]:

$$\Delta E_{se} = \frac{4\alpha(Z\alpha)}{3m_e^2} \left[\ln \alpha^{-2} - \ln \left[\frac{k_0(n, l)}{R_\infty} \right] + \frac{5}{6} \right] \langle \psi | \delta(\mathbf{r}) | \psi \rangle + \\ + \frac{\alpha(Z\alpha)}{2\pi m_e^2} \left\langle \psi \left| \frac{\mathbf{r} \times \mathbf{p}}{r^3} \cdot \frac{\boldsymbol{\sigma}}{2} \right| \psi \right\rangle, \quad (18)$$

где $\ln(k_0(n, l)/R_\infty)$ есть так называемый логарифм Бете, определяемый выражением

$$\ln \left[\frac{k_0(n, l)}{R_\infty} \right] = \sum_n \frac{\mathbf{p}_{0n} \mathbf{p}_{n0} (E_n - E_0) \ln(|E_n - E_0|/R_\infty)}{\mathbf{p}_{0n} \mathbf{p}_{n0} (E_n - E_0)}. \quad (19)$$

5. ЭФФЕКТИВНЫЕ ОПЕРАТОРЫ ПОРЯДКА $m\alpha^5$ ДЛЯ СИСТЕМЫ ДВУХ ЧАСТИЦ

Если мы ограничиваемся точностью $m\alpha^5$, то полученные в предыдущих разделах параметры NRQED (c_S , c_D и c_F) могут быть использованы для построения гамильтониана взаимодействия системы нескольких частиц из лагранжиана (1).

Для того чтобы определить полный гамильтониан взаимодействия для системы двух точечных частиц спина $1/2$ с конечными массами m_1 и m_2 ($m_2 > m_1$), точный до порядка $m\alpha^5$ включительно, необходимо еще рассмотреть вклад релятивистских фотонов от диаграмм (рис. 5) в пределе малых импульсов частиц (на пороге) и малых углов рассеяния (рассеяние вперед). Соответствующая амплитуда рассеяния определяется интегралом

$$M_{if} = -iZ^2 e^4 \langle i | \int \frac{d^4 k}{(2\pi)^4} \frac{1}{k^4} \text{Tr} \left[\gamma^\mu \frac{1}{\hat{t}_1 - \hat{k} - m_1} \gamma^\nu \right] \times \\ \times \left\{ \text{Tr} \left[\gamma^\mu \frac{1}{\hat{t}_2 + \hat{k} - m_2} \gamma^\nu \right] + \text{Tr} \left[\gamma^\mu \frac{1}{\hat{t}_2 - \hat{k} - m_2} \gamma^\nu \right] \right\} | f \rangle, \quad (20)$$

где $t_{1,2} = (m_{1,2}, \mathbf{0})$ — 4-импульсы частиц в состоянии покоя. Получающийся из этого интеграла оператор взаимодействия имеет вид [8] (см. также уравнение (2б))

$$E_H = -\frac{(Z\alpha)^2}{m_1 m_2} \left\{ \frac{7}{3} - 2 \ln \left(\frac{m_1}{2\Lambda} \right) + \frac{2}{m_1^2 - m_2^2} \left[m_1^2 \ln \frac{m_2}{\mu} - m_2^2 \ln \frac{m_1}{\mu} \right] + \right. \\ \left. + 2 \langle \boldsymbol{\sigma}_1 \cdot \boldsymbol{\sigma}_2 \rangle \frac{m_1 m_2}{m_2^2 - m_1^2} \ln \frac{m_2}{m_1} \right\} \langle \delta(\mathbf{r}) \rangle. \quad (21)$$

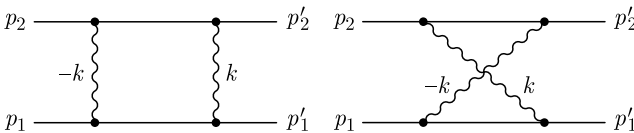


Рис. 5. Диаграммы двухфотонного обмена

Здесь $\mu = m_1 m_2 / (m_1 + m_2)$ — приведенная масса соответствующей пары частиц. Для простоты мы предполагаем, что частица 1 есть электрон и $m_1 = m_e$, а частица 2 имеет заряд Z .

Рассмотрим теперь вклады NRQED. Первым рассмотрим вклад E_S от обмена двумя поперечными «мягкими» фотонами, который определяется диаграммой ($k_2 = q - k_1$, $q^0 = 0$) и получается из гамильтониана NRQED (рис. 6):

$$E_S = \frac{Z^2 e^4}{4m_1 m_2} \langle \psi | \mathbf{A}(\mathbf{r}_1)^2 (E_0 - H)^{-1} \mathbf{A}(\mathbf{r}_2)^2 | \psi \rangle + \text{h. c.}$$

Выписывая этот интеграл в формализме нестационарной NRQED и интегрируя по k_0 , получаем

$$E_S = -\frac{Z^2 e^4}{4m_1 m_2} \langle \psi | \int \frac{d^3 \mathbf{k}_1}{(2\pi)^3} \frac{1}{k_1 k_2 (k_1 + k_2)} \left(\delta^{ij} - \frac{k_1^i k_1^j}{\mathbf{k}_1^2} \right) \times \\ \times \left(\delta^{ij} - \frac{k_2^i k_2^j}{\mathbf{k}_2^2} \right) | \psi \rangle. \quad (22)$$

Последний интеграл расходится при больших $|\mathbf{k}_1|$ и имеет вид

$$E_S = -\frac{2(Z\alpha)^2}{m_1 m_2} \left[\ln(2\Lambda)^{-1} + Q(r) + \frac{1}{3} \left(7 \ln 2 - \frac{17}{2} \right) \langle \delta(\mathbf{r}) \rangle \right]. \quad (23)$$

Оператор $Q(r)$ был введен в работах [12, 13] и определяется выражением

$$Q(r) = \lim_{a \rightarrow 0} \left[\int_a^\infty r^2 dr \left(\psi^* \frac{1}{4\pi r^3} \psi \right) + \langle \delta(\mathbf{r}) \rangle (\gamma + \ln a) \right]. \quad (24)$$

Как и следовало ожидать, расходящиеся части интеграла, которые содержат параметр теории Λ , сокращаются с соответствующим вкладом в E_H от обмена двух поперечных релятивистских фотонов, что приводит к конечному выражению для вклада в энергию.

Нам осталось рассмотреть вклад $\sim m\alpha^5$, определяемый обменом одним поперечным фотоном с энергией фотона в области «мягких» ($\sim m(Z\alpha)$) и «ультрамягких» энергий, порядка энергии связи $\sim m(Z\alpha)^2$.

В области «мягких» энергий член, определяющий поправку порядка $m\alpha^4$, уже был включен в гамильтониан Брейта. Чтобы определить следующий по порядку вклад, удобно представить функцию Грина нерелятивистского гамильтониана в виде

$$\frac{1}{E_0 - k - H} = -\frac{1}{k} + \frac{(H - E_0)}{k^2} + \dots,$$

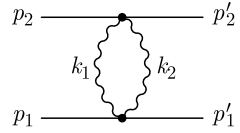


Рис. 6. Одновременный обмен двумя мягкими фотонами в NRQED

тогда поправка от обмена «мягким» поперечным фотоном порядка $m\alpha^5$ дается следующим интегралом:

$$E_M = -\frac{Ze^2}{m_1 m_2} \int \frac{d^3 \mathbf{k}}{(2\pi)^3 2|\mathbf{k}|^3} \left(\delta^{ij} - \frac{k^i k^j}{\mathbf{k}^2} \right) \times \\ \times \left\langle \psi \left| p_1^i e^{i\mathbf{k}\mathbf{r}} (H - E_0) e^{-i\mathbf{k}\mathbf{r}} p_2^j \right| \psi \right\rangle + \text{h. c.}, \quad (25)$$

который логарифмически расходится на нижней границе $\Lambda_{\text{us}} \sim (Za)\Lambda \sim m_e(Z\alpha)^2$. Этот вклад имеет вид

$$E_M = \frac{2(Z\alpha)^2}{m_1 m_2} \left[-\frac{4}{3} Q(r) - \frac{2}{3} \ln \Lambda_{\text{us}} \langle \delta(\mathbf{r}) \rangle - \frac{16}{9} \langle \delta(\mathbf{r}) \rangle \right]. \quad (26)$$

Вклад ультрамягких фотонов дается выражением [14, 15]

$$E_L = -\frac{2Z\alpha}{3\pi} \left[\ln \frac{(Z\alpha)^2}{\Lambda_{\text{us}}} - \frac{5}{6} + \frac{\langle \mathbf{J}(H - E) \ln((H - E)/R_\infty) \mathbf{J} \rangle}{\langle [\mathbf{J}, [H, \mathbf{J}]]/2 \rangle} \right] \times \\ \times \left\langle \frac{[\mathbf{J}, [H, \mathbf{J}]]}{2} \right\rangle, \quad (27)$$

где $\mathbf{J} = \sum_a Z_a \mathbf{p}_a / m_a$ — оператор электромагнитного тока в атоме (молекуле). Новый параметр Λ_{us} сокращается при суммировании с соответствующим вкладом из (26).

Последнее выражение в скобках в (27) представляет собой логарифм Бете [11], который зависит от нерелятивистской волновой функции системы частиц. Коммутатор $[\mathbf{J}, [H, \mathbf{J}]]$ легко раскрывается:

$$\langle [\mathbf{J}, [H, \mathbf{J}]] \rangle = \left(\frac{1}{m_1} + \frac{Z}{m_2} \right)^2 4\pi Z\alpha \langle \delta(\mathbf{r}) \rangle.$$

Предполагая, что m_2 много больше массы m_1 , и суммируя (21), (23), (26) и (27), получим окончательное выражение для поправки порядка $m\alpha^5$ с учетом конечной массы ядра:

$$\delta^{(3)} E = \frac{\alpha^3}{m_1^2} \left[\frac{4Z}{3} \left(-\ln \alpha^2 - \beta(L, v) + \frac{5}{6} - \frac{1}{5} \right) \langle \delta(\mathbf{r}) \rangle + \right. \\ \left. + \frac{2Z^2}{3} \frac{m_1}{m_2} \left(-\ln \alpha - 4\beta(L, v) + \frac{31}{3} \right) \langle \delta(\mathbf{r}) \rangle - \frac{14Z^2}{3} \frac{m_1}{m_2} Q(r) \right],$$

где

$$\beta(L, v) = \frac{\langle \mathbf{J}(H - E_0) \ln((H - E_0)/R_\infty) \mathbf{J} \rangle}{\langle [\mathbf{J}, [H, \mathbf{J}]]/2 \rangle}.$$

ЗАКЛЮЧЕНИЕ

Нашей целью было продемонстрировать на простом примере атома водорода с конечной массой ядра вывод эффектов квантовой электродинамики для вычисления поправок к энергии связи. Используя эффективную теорию поля, нерелятивистскую КЭД, впервые предложенную Кажуэллом и Лепажем [4], мы вычислили лэмбовский сдвиг порядка $m\alpha^5$ и получили полное выражение для ведущей поправки, включая отдачу. Этот метод успешно применялся для вычисления поправок к энергии водородоподобных систем, таких как поправки высшего порядка к лэмбовскому сдвигу и сверхтонкой структуре [3], и может быть распространен на произвольную кулоновскую систему нескольких частиц, такую как атом гелия [16], молекулярные ионы водорода [17] и экзотические атомы антипротонного и пионного гелия [18].

СПИСОК ЛИТЕРАТУРЫ

1. *Sapirstein J. R., Yennie D. R.* Theory of Hydrogenic Bound States. Quantum Electrodynamics. Singapore: World Sci., 1990.
2. *Eides M. I., Grotch H., Shelyuto V. A.* Theory of Light Hydrogenlike Atoms // Phys. Rep. 2001. V. 342. P. 63.
3. *Eides M. I., Grotch H., Shelyuto V. A.* Theory of Light Hydrogenic Bound States // Springer Tracts in Modern Physics. Berlin: Springer, 2007. V. 222.
4. *Caswell W. E., Lepage G. P.* Effective Lagrangians for Bound State Problems in QED, QCD, and Other Field Theories // Phys. Lett. B. 1986. V. 167. P. 437.
5. *Kinoshita T., Nio M.* // Phys. Rev. D. 1996. V. 53. P. 4909.
6. *Paz Gil.* An Introduction to NRQED // Mod. Phys. Lett. A. 2015. V. 30. P. 1550128.
7. *Pachucki K.* Effective Hamiltonian Approach to the Bound State: Positronium Hyperfine Structure // Phys. Rev. A. 1997. V. 56. P. 297.
8. *Pachucki K.* Simple Derivation of Helium Lamb Shift // J. Phys. B: At. Mol. Opt. Phys. 1998. V. 31. P. 5123.
9. *Feynman R. P.* Theory of Positron // Phys. Rev. 1949. V. 76. P. 749; Space-Time Approach to Quantum Electrodynamics // Ibid. P. 769.
10. *Feynman R. P.* Quantum Electrodynamics. New York: W. A. Benjamin, Inc., 1961.
11. *Бете Г. А., Солнтер Э.* Квантовая механика атомов с одним и двумя электронами. М.: Физматгиз, 1960.
12. *Araki H.* Quantum-Electrodynamical Corrections to Energy-Levels of Helium // Prog. Theor. Phys. 1957. V. 17. P. 619.
13. *Sucher J.* Energy Levels of the Two-Electron Atom to Order α^3 Ry; Ionization Energy of Helium // Phys. Rev. 1958. V. 109. P. 1010.
14. *Yelkhovsky A.* QED Corrections to Singlet Levels of the Helium Atom: A Complete Set of Effective Operators to $m\alpha^6$ // Phys. Rev. A. 2001. V. 64. P. 062104.
15. *Korobov V. I.* Calculation of the Nonrelativistic Bethe Logarithm in the Velocity Gauge // Phys. Rev. A. 2012. V. 85. P. 042514.

16. *Yerokhin V.A., Patkóš V., Pachucki K.* Atomic Structure Calculations of Helium with Correlated Exponential Functions // *Symmetry*. 2021. V.13. P.1246.
17. *Korobov V.I., Karr J.-Ph.* Rovibrational Spin-Averaged Transitions in the Hydrogen Molecular Ions // *Phys. Rev. A*. 2021. V.104. P.032806.
18. *Bai Zhi-Da, Korobov V.I., Yan Zong-Chao, Shi Ting-Yun, Zhong Zhen-Xiang.* Precision Spectroscopy of the Pionic Helium-4 // *Phys. Rev. Lett.* 2022. V.128. P.183001.